

**การออกแบบอัลกอริทึมแบบปรับตัวเองได้ สำหรับตรวจวัดค่าองค์ประกอบสมมาตร
โดยประยุกต์ใช้ในโปรแกรม LabVIEW**

**ADAPTIVE ALGORITHM DESIGN FOR SYMMETRICAL COMPONENT
DETECTION USING LABVIEW IMPLEMENTATION**

สุรเดช อินทร์พุ่ม¹ กฤญณ์ชนม์ ภูมิคิดพิชญ์² ชูวงศ์ วัฒนศักดิ์กุนลา³

บทคัดย่อ

ในบทความนี้ได้นำเสนอการออกแบบอัลกอริทึมแบบปรับตัวเองได้ สำหรับตรวจวัดค่าองค์ประกอบสมมาตร โดยประยุกต์ใช้ในโปรแกรม LabVIEW องค์ประกอบสมมาตร มีความสำคัญ และมีการประยุกต์ใช้ในหลายๆ ด้านสำหรับงานด้านไฟฟ้ากำลัง ในงานด้านคุณภาพไฟฟ้า ในงานด้านการป้องกันระบบไฟฟ้า และได้นำเสนอเทคนิคอัลกอริทึม ปรับตัวเองได้ เพื่อในการตรวจวัดค่าองค์ประกอบสมมาตรทั้งในระบบที่มีการเปลี่ยนแปลง และ ไม่เปลี่ยนแปลง โดยใช้โปรแกรม MATLAB เพื่อทำการทดสอบอัลกอริทึม จากผลการทดสอบ จะเห็นได้ว่า สามารถติดตามระบบที่มีการเปลี่ยนแปลงได้ และใช้เวลาในการเข้าระบบเพียง 0.04 วินาที เมื่อนำเทคนิคนี้เทียบกับเทคนิค Fast Fourier Transform (FFT) จะเห็นได้ว่าเทคนิคอัลกอริทึมปรับตัวเองได้เร็วกว่าเทคนิค FFT ถึง 28.9015 เท่าโดยประมาณ อัลกอริทึมนี้ ที่ได้จากการทดสอบสามารถนำมาใช้ในการตรวจวัดค่าองค์ประกอบสมมาตร, เป็นเครื่องมือต้นแบบและการประยุกต์ใช้ กับโปรแกรม LabVIEW จะสามารถนำไปใช้ในงานจริงได้ ซึ่งจะช่วยลดการนำเข้าเครื่องมือจากต่างประเทศ

คำสำคัญ : องค์ประกอบสมมาตร, อัลกอริทึมแบบปรับตัวเองได้

Abstract

This paper presents the adaptive algorithm for symmetrical component detection using LabVIEW implementation. The symmetrical component are important and can be applied be to aspects of power system application, for example, the power quality, power system protection and so on and presents the technique of adaptive algorithm for measuring the value of symmetrical component both normal and abnormal system, and carries-out by using MATLAB program. In order to test this algorithm, the examination result found that it could track the abnormon and about only 0.04 seconds. When comparing this with fast fourier transform (FFT), technique it shows that the algorithm technique could adjust itself faster than FFT technique FFT about approximately 28.9015 times. This algorithm can be ensured by using LabVIEW program. It shows that the symmetrical component can be tracked faster than MATLAB program 16 times.

Keywords : Symmetrical Component, Adaptive algorithm

¹พนักงานช่างระดับ 4 (ซอฟต์แวร์) ประจำการไฟฟ้าส่วนภูมิภาคเขต 3 ภาคกลาง (นครปฐม)

²อาจารย์ประจำภาควิชาวิศวกรรมไฟฟ้า คณะวิศวกรรมศาสตร์ มหาวิทยาลัยเทคโนโลยีราชมงคลชั้นบุรี

³วิศวกรระดับ 5 ประจำการไฟฟ้าส่วนภูมิภาคเขต 3 ภาคใต้ (ยะลา)

1. บทนำ

องค์ประกอบสมมาตรของกระแส และแรงดันไฟฟ้า [1],[2] มีความสำคัญ และมีการประยุกต์ใช้ในหลายๆ ด้านสำหรับงานด้านไฟฟ้ากำลัง เช่น งานด้านคุณภาพไฟฟ้า และงานด้านการป้องกันระบบไฟฟ้า ในบทความนี้ต้องการนำเสนอโครงสร้างของอัลกอริทึมแบบปรับตัวเองเชิงเส้นผสม (Adaptive linear combiner structure) [3] สำหรับการประมาณ และติดตามค่าองค์ประกอบสมมาตร โครงสร้างดังกล่าวสามารถให้ผลลัพธ์มากกว่าหนึ่ง (Multi-output) แตกต่างจากโครงสร้างของอัลกอริทึมแบบปรับตัวเองเชิงเส้นผสมทั่วไปที่ให้ผลลัพธ์เพียงหนึ่ง (Single-output) โครงสร้างใหม่นี้เรียกว่า อัลกอริทึมปรับตัวเองได้ (Adaptive algorithm)

จากการศึกษางานวิจัยในอดีตเทคนิคการวัดค่าองค์ประกอบสมมาตรสามารถทำได้หลายวิธี วิธีที่ 1 การแปลงฟูเรียร์อย่างเร็ว [4],[5] วิธีนี้สามารถใช้ได้กับแรงดันที่ผิดเพี้ยน ข้อเสียของวิธีนี้คือไม่มีความแม่นยำในการวัดภายใต้สภาวะของโหลดที่เปลี่ยนแปลง วิธีที่ 2 The Kalman Filter (KF)[6],[7] ข้อดีของวิธีนี้คือใช้ในการประมาณค่าองค์ประกอบสมมาตรของระบบที่มีการเปลี่ยนแปลงตามเวลาได้เป็นอย่างดี วิธีเหมาะสมสำหรับระบบที่มีสัญญาณรบกวน ค่าที่ได้จะเป็นค่าประมาณที่ใกล้เทียบกับจริงที่สุด ข้อเสียของวิธีนี้คือมีการคำนวณที่มากไม่สามารถประยุกต์ใช้สร้างเป็นเครื่องมือในการติดตาม องค์ประกอบสมมาตรได้ ถ้าจะสร้างเครื่องมือเพื่อติดตามองค์ประกอบสมมาตรจะต้องใช้หน่วยความจำขนาดใหญ่ และตัวประมวลผลที่มีความไวสูง

ในบทความนี้ผู้วิจัยได้นำเสนอวิธีการใหม่โดยการออกแบบอัลกอริทึมแบบปรับตัวได้ เพื่อใช้เป็นเครื่องมือประมาณติดตามค่าขององค์ประกอบสมมาตรเพื่อนำค่าพารามิเตอร์ไปประยุกต์ใช้ในงานด้านต่างๆ ต่อไป โดยการพัฒนาในโปรแกรม LabVIEW โดยผู้วิจัยได้ทำการเขียนโปรแกรมเพื่อให้ใช้งานง่ายสำหรับนักคณิตทั่วไป ที่ไม่มีความรู้ด้านการเขียนโปรแกรมสามารถใช้ได้และกราฟที่สวยงาม และการเก็บข้อมูลเก็บเป็นไฟล์ .csv

ไฟล์นี้สามารถใช้โปรแกรม Microsoft Excel อ่านได้เลย และยังโหลดค่าข้อมูลไปยัง Workspace ของโปรแกรม Matlab ได้โดยโดยไม่ต้องแปลงร่างอ่อน จากความสามารถข้างต้น สามารถใช้โปรแกรมนี้เป็นเครื่องมือเพื่อติดตามค่าองค์ประกอบสมมาตรได้

2. ทฤษฎีที่เกี่ยวข้อง

องค์ประกอบสมมาตรของกระแสและแรงดันไฟฟ้านี้ความสำคัญ และมีการประยุกต์ใช้ในหลายๆ ด้านสำหรับงานด้านไฟฟ้ากำลัง ในงานด้านคุณภาพไฟฟ้า (Power Quality) ขนาดขององค์ประกอบสมมาตรของกระแส ลำดับศูนย์ (Zero Sequent Current) และองค์ประกอบสมมาตรของกระแสลำดับลบ (Negative Sequent Current) เป็นตัวบ่งชี้ถึงความไม่สมดุลของโหลดในระบบไฟฟ้า ในงานด้านการป้องกันระบบไฟฟ้า (Power System Protection) องค์ประกอบสมมาตรของกระแส และแรงดันไฟฟ้าถูกใช้เพื่อกำหนดการทำงานให้ relay วัดระยะทาง (Distance Relay) หรือนำมาใช้เพื่อกำหนด หาตำแหน่งผิดพลาด (Fault Locator) นอกจากนั้น ยังมี relay อีกหลายชนิดที่จำเป็นต้องตรวจจับขนาดขององค์ประกอบสมมาตรของกระแสลำดับต่างๆ เพื่อนำมาตัดสินใจและป้องกันระบบไฟฟ้า เช่น relay กระแสเกิน (Ground Over Current Relay) ใช่องค์ประกอบสมมาตรของกระแสลำดับศูนย์เพื่อนำมาตัดสินใจสั่งให้เซอร์กิตเบรกเกอร์ (Circuit Breaker) ปลดวงจรออกเมื่อเกิดความผิดพลาดลงดินขึ้นในระบบไฟฟ้า กำลัง เป็นต้น

ทั้งหมดที่ได้กล่าวมานี้ จะเห็นได้ว่า relay และเครื่องวัดคุณภาพไฟฟ้าจะต้องมีการประมวลผลเพื่อติดตามค่าองค์ประกอบแบบสมมาตรของกระแส หรือ/และองค์ประกอบสมมาตรของแรงดันอยู่ตลอดเวลาหนึ่ง (Real time)

การประมวลผลเพื่อติดตามค่าองค์ประกอบแบบสมมาตรของกระแส หรือ/และองค์ประกอบสมมาตรของแรงดันอยู่ตลอดเวลา โดยทั่วไปแล้วนิยมใช้วิธีการแปลงฟูเรียร์อย่างเร็ว (Fast Fourier Transform) ร่วมกับตัว

คุณแมตริกซ์ (Matrix Transform) โดยเริ่มต้นจาก สัญญาณของกระแสและแรงดันไฟฟ้าซึ่งเป็นสัญญาณอนาล็อก (Analog signal) มีความต่อเนื่องทางเวลา ถูกแปลงให้เป็นสัญญาณดิจิตอล (Digital signal) โดยใช้ตัวแปลงสัญญาณ (A/D) ส่งไปประมวลผลยังไมโครโปรเซสเซอร์เพื่อหาค่าเฟสเซอร์ (Phasor) ของกระแส และแรงดันไฟฟ้าที่เวลาใดๆ โดยอาศัยการแปรผูเรียร์อย่างเร็ว เมื่อได้ผลลัพธ์ในรูปของค่าเฟสเซอร์ของกระแส และแรงดันไฟฟ้าที่เวลาใดๆ ในขั้นต่อไปจึงใช้ตัวคุณแมตริกซ์แปลงค่าจากเฟสเซอร์ของกระแส และแรงดันไฟฟ้าที่เวลาใดๆ เป็นองค์ประกอบสมมาตรของกระแส และแรงดันไฟฟ้าที่เวลาใดๆ ต่อไป โดยกระบวนการทั้งหมดที่ได้กล่าวมาจะต้องประมวลผลให้เสร็จก่อนที่สัญญาณดิจิตอลของกระแส และแรงดันค่าใหม่นอกสุ่ม เพื่อกำหนดในรอบของ การคำนวณดังไป

เพื่อลดความซับซ้อนในการประมวลผลเพื่อติดตามค่าองค์ประกอบแบบสมมาตรลง อีกทั้งยังเป็นหน่วยประมวลผลเพื่อติดตามค่าองค์ประกอบแบบสมมาตรโดยตรง ในงานวิจัยนี้จึงได้ออกแบบอัลกอริทึมแบบปรับตัวเอง มีโครงสร้างเชิงเส้นผสมเพื่อให้ผลลัพธ์เป็น 3 ผลลัพธ์ที่เวลาเดียวกัน คือ 1.) องค์ประกอบสมมาตร ลำดับสูนย์ 2.) องค์ประกอบสมมาตรลำดับลบ 3.) องค์ประกอบสมมาตรลำดับบวก ซึ่งจะช่วยให้ง่ายต่อการนำไปใช้ประมวลผลเพื่อติดตามค่าองค์ประกอบแบบสมมาตรแบบเวลาจริง

3. การออกแบบอัลกอริทึมปรับตัวเองได้

3.1 การออกแบบสมการอัลกอริทึมปรับตัวเองได้

ในการสร้างสมการสำหรับองค์ประกอบสมมาตรนี้ จะอาศัยความสัมพันธ์ของรูปคลื่นที่ไม่สมมาตรและองค์ประกอบสมมาตรเป็นส่วนที่สำคัญในอัลกอริทึมนี้ การแสดงส่วนที่สมมาตรกันของปริมาณทางไฟฟ้า (3 เฟส) สามารถแสดงได้ดังนี้

$$i_a = I_0 \sin(\omega t + \phi_0) + I_1 \sin(\omega t + \phi_1) + I_2 \sin(\omega t + \phi_2) \quad (1)$$

$$i_b = I_0 \sin(\omega t + \phi_0) + I_1 \sin(\omega t + \phi_1 - 120) + I_2 \sin(\omega t + \phi_2 + 120) \quad (2)$$

$$i_c = I_0 \sin(\omega t + \phi_0) + I_1 \sin(\omega t + \phi_1 + 120) + I_2 \sin(\omega t + \phi_2 - 120) \quad (3)$$

เมื่อ I_0 และ f_0 คือ ขนาด และมุมไฟขององค์ประกอบลำดับสูนย์

I_1 และ f_1 คือ ขนาด และมุมไฟขององค์ประกอบลำดับบวก

I_2 และ f_2 คือ ขนาด และมุมไฟขององค์ประกอบลำดับลบ

ถ้าเราใช้สมการ $\sin(a + b) = \sin(a)\cos(b) + \cos(a)\sin(b)$ แทนในสมการที่ (1)-(3) จะได้

$$i_a = I_0 \cos(\phi_0) \sin(\omega t) + I_0 \sin(\phi_0) \cos(\omega t) + I_1 \cos(\phi_1) \sin(\omega t) + I_1 \sin(\phi_1) \cos(\omega t) + I_2 \cos(\phi_2) \sin(\omega t) + I_2 \sin(\phi_2) \cos(\omega t) \quad (4)$$

$$i_b = I_0 \cos(\phi_0) \sin(\omega t) + I_0 \sin(\phi_0) \cos(\omega t) + I_1 \cos(\phi_1) \sin(\omega t - 120) + I_1 \sin(\phi_1) \cos(\omega t - 120) + I_2 \cos(\phi_2) \sin(\omega t + 120) + I_2 \sin(\phi_2) \cos(\omega t + 120) \quad (5)$$

$$i_c = I_0 \cos(\phi_0) \sin(\omega t) + I_0 \sin(\phi_0) \cos(\omega t) + I_1 \cos(\phi_1) \sin(\omega t + 120) + I_1 \sin(\phi_1) \cos(\omega t + 120) + I_2 \cos(\phi_2) \sin(\omega t + 120) + I_2 \sin(\phi_2) \cos(\omega t + 120) \quad (6)$$

ถ้าเราจัดสมการที่ (4)-(6) ใหม่ให้อยู่ในรูปแบบเมทริกซ์ จะได้

$$y(t) = \Phi(t)\theta(t) \quad (7)$$

เมื่อ $y(t)$ แทน การวัด

$\theta(t)$ แทน การประมวลค่าตัวแปรในอนาคต

$\Phi(t)$ แทน ความสัมพันธ์ระหว่างเวลาที่เปลี่ยนแปลง กับเมทริกซ์

ตัวแปรเหล่านี้แสดงในสมการ (8)-(10) ที่แสดงไว้ด้านล่าง งานวิจัยนี้ได้ดึงสมมุติฐานว่าสัญญาณกระแสหรือแรงดันไฟ เป็นฟังก์ชันของໄโอไซน์ (Cosine) ที่ความเร็วเชิงมุมเท่ากับความเร็วเชิงมุมมูลฐาน (fundamental-

$$y(t) = \begin{bmatrix} i_a \\ i_b \\ i_c \end{bmatrix} \quad (8)$$

angular frequency 1^{th}) ของระบบไฟฟ้าน้ำ โดยนิส่วนประกอบขององค์ประกอบสมมาตรที่ i ถึง $i(t)$ ตามสมการที่ (11)

$$\theta(t) = \begin{bmatrix} I_0 \cos(\phi_0) \\ I_0 \sin(\phi_0) \\ I_1 \cos(\phi_1) \\ I_1 \sin(\phi_1) \\ I_2 \cos(\phi_2) \\ I_2 \sin(\phi_2) \end{bmatrix} \quad (9)$$

$$\Phi(t)^T = \begin{bmatrix} \sin \omega t & \cos \omega t & \sin \omega t & \cos \omega t & \sin \omega t & \cos \omega t \\ \sin \omega t & \cos \omega t & \sin(\omega t - 120) & \cos(\omega t - 120) & \sin(\omega t + 120) & \cos(\omega t + 120) \\ \sin \omega t & \cos \omega t & \sin(\omega t + 120) & \cos(\omega t + 120) & \sin(\omega t - 120) & \cos(\omega t - 120) \end{bmatrix} \quad (10)$$

$$y(t) = A_i \cdot \cos(i \cdot w \cdot t + \theta_i) \quad (11)$$

นำสมการที่ (3.11) มาจัดรูปใหม่ ให้อยู่ในรูปของสมการผลต่างของฟังก์ชันโโคไซน์ตามสมการที่ (12)-(16) ตามลำดับ

$$y(t) = A_i \cdot \cos(\omega_s \cdot t) \cdot \cos(\theta_i) - A_i \cdot \sin(\omega_s \cdot t) \cdot \sin(\theta_i) \quad (12)$$

$$[X] = [\Phi] \quad (13)$$

$$[W] = [\theta] \quad (14)$$

$$y(t) = [W] \cdot [X]^T \quad (15)$$

$$e(t) = x(t) - [W] \cdot [X]^T \quad (16)$$

เมื่อ $x(t)$ คือ แทนสัญญาณกระแส หรือแรงดันที่ต้องการวัดหาส่วนประกอบขององค์ประกอบสมมาตร หรือ แรงดัน ที่ต้องการวัดที่ต้องการวัดหาส่วนประกอบขององค์ประกอบสมมาตรกับสัญญาณด้านออกจากระบบจำลองทางคณิตศาสตร์ คือ ค่าสัมประสิทธิ์

$[W]$ Weight vector (การถ่วงน้ำหนักของค่า)

จากสมการที่ (10) เมื่อแปลงสัญญาณอนาล็อก (Analog Signal) เป็นสัญญาณเชิงเวลาเต็มหน่วย (Discrete Time Signal) ค่าสัมประสิทธิ์ $[W]$ สามารถปรับตัวเองเพื่อให้มีค่า $|e(t)|^2$ ต่ำสุด ตามกฎของ Widrow-Hoff delta rule [8],[9] จะได้สมการที่ (3.17) คือ

$$W(k+1) = W(k) + \frac{\alpha \times e(k) \times [X(k)]}{[X(k)] \times [X(k)]^T} \quad (16)$$

เมื่อ k คือ รอบของการปรับค่าสัมประสิทธิ์ Weight Vector

$W(k)$ คือ ค่าสัมประสิทธิ์ Weight Vector รอบที่ k

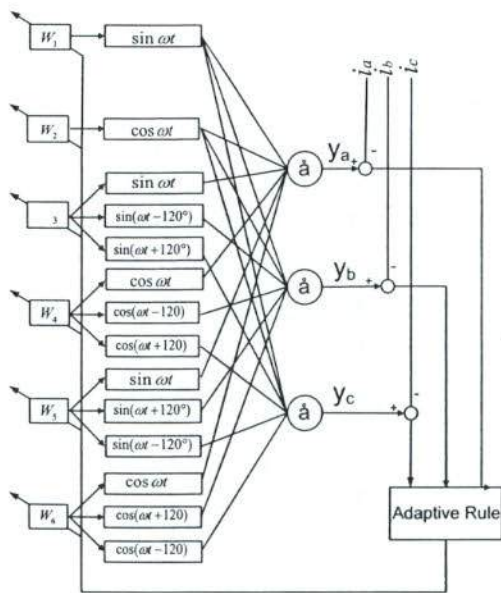
$W(k+1)$ คือ ค่าสัมประสิทธิ์ Weight Vector ที่ถูก

ปรับในรอบต่อไปที่ $k+1$

α คือ ค่าสัมประสิทธิ์การเรียนรู้ (Learning Parameter)

3.2 โครงสร้างอัลกอริทึมปรับตัวเองได้

การออกแบบโครงสร้างอัลกอริทึมปรับตัวเองได้ดังนี้ จะนำ สมการทั้งหมดในข้างต้นมาเขียนเป็นรูปเพื่อที่จะได้ทำความเข้าใจได้ง่ายขึ้น



รูปที่ 1 โครงสร้างของอัลกอริทึม

จากรูปที่ 1 W_{1-6} คือค่าของ $q(t)$ ในสมการที่ (9) คือค่าขององค์ประกอบสมมาตร นำมามุ่ง $F(t)$ ในสมการที่ (10) จะได้ $y_{(a,b,c)}$ แล้วนำมาลบด้วย สัญญาณจริง เกิดต่า Error นำค่า Error มาคำนวณใน Adaptive Rule ในสมการที่ (16) จะได้ค่า W ในรอบต่อไป

4. ผลการทดสอบอัลกอริทึม

ในการทดสอบอัลกอริทึมนั้นจะจำลองความผิดพร่องด้วยโปรแกรม ATP-EMTP โดยกำหนดค่าเริ่มต้นเป็นดังนี้

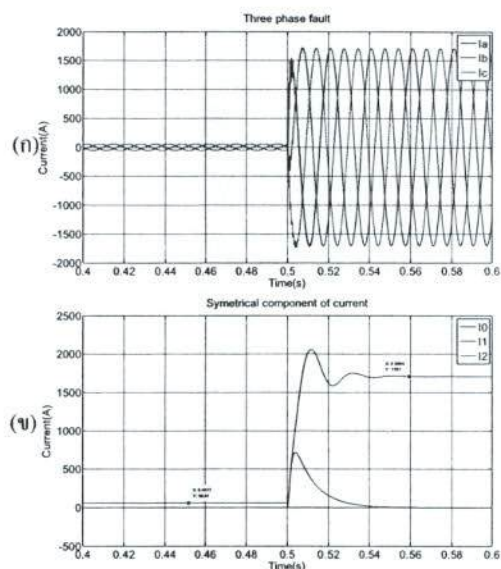
ตารางที่ 1 กำหนดระบบเริ่มต้นของระบบ

ระบบ	ขนาด	ระบบ
แหล่งจ่ายแรงดัน 3 เฟส	22kV	แหล่งจ่ายแรงดัน 3 เฟส
ความถี่	50Hz	ความถี่
สายส่ง	10 ก.ม.	สายส่ง
โหลด	$2000 + 0.0025i$	โหลด
เกิดการผิดพร่องที่เวลา	0.5 วินาที	เกิดการผิดพร่องที่เวลา

4.1 การทดสอบอัลกอริทึมด้วยโปรแกรม MATLAB

กรณีศึกษานี้จะกำหนดระบบเริ่มต้นเป็น ดังนี้ แหล่งจ่ายเป็นแหล่งจ่ายแรงดัน 3 เฟส 22kV ที่ความถี่ 50Hz ต่อ กับสายส่ง 10 ก.ม. จ่ายให้ กับโหลดขนาด $1796 + 0.000032i$ เท่ากันทั้ง 3 เฟส

จำลองการเกิดความผิดพร่องในระบบแบบสามเฟส ในระบบเริ่มต้นที่เวลา 0 วินาทีเกิดความผิดพร่องที่เวลา 0.5 วินาที โดยแสดงในรูปที่ 2



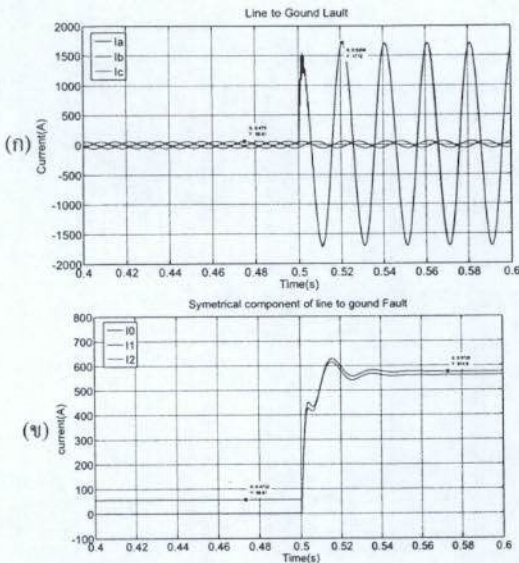
รูปที่ 2 (g) กระแสเมื่อเกิดการผิดพร่องในระบบแบบ 3 เฟส

(h) องค์ประกอบสมมาตรของสัญญาณกระแส

จากรูปที่ 2 อนิยการแยกองค์ประกอบสมมาตรของสัญญาณกระแสในรูปที่ 2 (g) ออกเป็น ลำดับศูนย์ (I_0), ลำดับบวก (I_1), ลำดับลบ (I_2) โดยใช้อัลกอริทึมแบบปรับตัวเองได้ด้วยโปรแกรม Matlab ที่เวลา 0 วินาที ถึง 0.49 วินาที ระบบเป็นปกติจะได้แต่ลำดับบวกมีค่าประมาณ 56.6A เท่ากับค่ายอดของกระแสในรูปที่ 2 ที่เวลา 0.5s เกิดการผิดพร่องแบบสามเฟสในระบบในช่วงเวลา 1-2 cycle แรก อัลกอริทึมจะพยายามปรับตัวจากสภาวะปกติเป็นสภาวะเกิดการผิดพร่องหลังจากนั้นอัลกอริทึมจะเข้าสู่สภาวะคงที่จะเห็นได้ว่ามีแต่ค่าลำดับบวกที่เท่ากับ

1708A เท่ากับค่าขอดของกระแสในรูปที่ 2 และลำดับสูนย์, ลำดับบนมีค่าเท่ากับสูนย์ เป็นไปตามทฤษฎีของการเกิดความผิดพร่องในระบบแบบสามมาตรฐาน

จำลองการเกิดความผิดพร่องในระบบแบบสามสายนี้ได้เส้นหนึ่งคือลงดินกำหนดให้เกิดความผิดพร่องที่เฟส A ในระบบเริ่มต้นที่เวลา 0 วินาทีเกิดความผิดพร่องที่เวลา 0.5 วินาที โดยแสดงในรูปที่ 3 (ก)



รูปที่ 3 (ก) กระแสเมื่อการเกิดการผิดพร่องในระบบแบบเฟส-ดิน

(ข) องค์ประกอบสมมาตรของสัญญาณกระแส

จากรูปที่ 3 อธิบายการแยกองค์ประกอบสมมาตรของสัญญาณกระแสในรูปที่ 4 ออกเป็น ลำดับสูนย์, ลำดับบน, ลำดับบน โดยใช้อัลกอริทึมปรับตัวเองได้ด้วยโปรแกรม Matlab ที่เวลา 0 วินาทีถึง 0.49 วินาที ระบบเป็นปกติจะวัดได้แต่ลำดับบนที่มีค่าประมาณ 56.6A เท่ากับค่าขอดของกระแสในรูปที่ 4 ที่เวลา 0.5 วินาที เกิดการผิดพร่องแบบสามเฟสในระบบในช่วงเวลา 1-2 cycle แรกอัลกอริทึมจะพยายามปรับตัวจากสภาวะปกติเป็นสภาวะเกิดการผิดพร่องหลังจากนั้นอัลกอริทึมจะเข้าสู่สภาวะคงที่จะเห็นได้ว่ามีแต่ค่าลำดับบนที่เท่ากับ 1708A เท่ากับค่าขอดของกระแสในรูปที่ 4 และลำดับสูนย์, ลำดับ

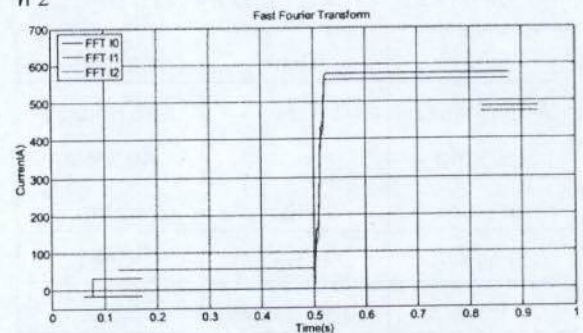
บนมีค่าใกล้เคียงกับลำดับบนที่เป็นไปตามทฤษฎีของการเกิดความผิดพร่องในระบบแบบสามสายนี้ได้เส้นหนึ่งคือลงดิน

4.2 การเปรียบเทียบด้วยเทคนิค Fast Fourier Transform (FFT)



รูปที่ 4 องค์ประกอบสมมาตรของสัญญาณกระแสของเทคนิค FFT เมื่อเกิดความผิดพร่องแบบ 3 เฟส

จากรูปที่ 4 จะเห็นได้ว่าการติดตามองค์ประกอบสมมาตรด้วยเทคนิค FFT นั้นจะมีค่าเท่ากันกับเทคนิคอัลกอริทึมปรับตัวเองได้ ข้อแตกต่างคือช่วงแรก 200 ค่าแรก หรือประมาณ 1 รูปคลื่น มีค่าเท่ากับ 0 ค่าในช่วงแรกนี้จะต้องเก็บไว้เพื่อกำนัลในช่วงเวลาต่อไป และเมื่อเกิดความผิดพร่องขึ้นที่เวลา 0.5 วินาที ค่าจะค่อยๆ ปรับเพิ่มขึ้น การเก็บค่าเพื่อที่จะคำนวณในช่วงแรกเปลี่ยนแปลงไป เทคนิค FFT ใช้เวลาในการคำนวณค่อนข้างมากจะดีจากการที่ 2



รูปที่ 5 องค์ประกอบสมมาตรของกระแสของเทคนิค FFT เมื่อเกิดความผิดพร่องแบบเฟส-ดิน

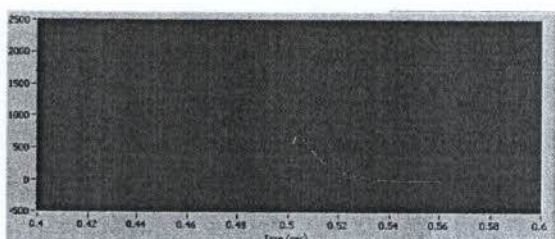
จากรูปที่ 5 จะเห็นได้ว่าการติดตามองค์ประกอบสมม�ตรด้วยเทคนิค FFT นั้นจะมีค่าเท่ากันกับเทคนิคอัลกอริทึมปรับด้วยเวลาได้ ข้อแตกต่างคือช่วงแรก 200 ค่าแรกหรือประมาณ 1 รูปคลื่น มีค่าเท่ากัน 0 ค่าในช่วงแรกนี้จะต้องเก็บไว้เพื่อกำหนดในช่วงเวลาต่อไป และเมื่อเกิดความผิดพร่องขึ้นที่เวลา 0.5 วินาที ค่าจะค่อยๆ ปรับเพิ่มขึ้นการเก็บค่าเพื่อที่จะคำนวณในช่วงแรกเปลี่ยนแปลงไป เทคนิค FFT ใช้เวลาในการคำนวณค่อนข้างมากจะดูได้จากตารางที่ 2

ตารางที่ 2 เปรียบเทียบเวลาของทั้ง 2 เทคนิค

การผิดพร่อง	อัลกอริทึมปรับด้วยเวลา (วินาที)	FFT (วินาที)
3 เฟส	3.058676	74.604329
เฟส-คิน	2.483633	74.91632
เฟส-เฟส-คิน	3.290306	79.679923
เฟส-เฟส	4.422047	77.962395
ค่าเฉลี่ย	3.1469294	76.3734592

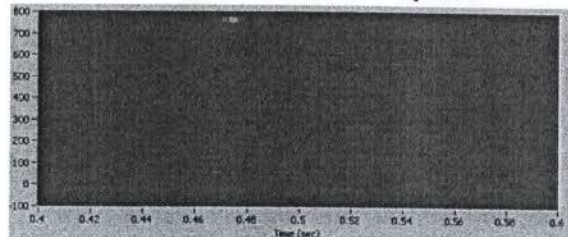
4.3 การทดสอบอัลกอริทึมด้วยโปรแกรม LabVIEW

ในส่วนสุดท้ายของงานวิจัยนี้จะใช้โปรแกรม LabVIEW เพื่อทำการประมวล/ติดตามค่าองค์สมม�ตรจากการเก็บข้อมูลจากเรซเซอร์ของการไฟฟ้าส่วนภูมิภาค แต่การเขียนโปรแกรม LabVIEW นั้นจะเขียนให้ถูกต้องที่เดียวแน่นยาบ เพื่อทำการทดสอบและเก็บข้อมูลก่อนที่จะนำไปใช้งานจริง



รูปที่ 6 องค์ประกอบสมม�ตรของกระแสด้วยโปรแกรม LabVIEW เมื่อเกิดความผิดพร่องแบบ 3 เฟส

จากรูปที่ 6 จะเห็นได้ว่าองค์ประกอบสมม�ตรที่ได้จากโปรแกรม LabVIEW นั้นมีค่าเท่ากันองค์ประกอบสมม�ตรที่ได้จากโปรแกรม Matlab จากรูปที่ 2 (x) จึงยืนยันได้ว่าการโปรแกรม LabVIEW นั้นถูกต้อง



รูปที่ 7 องค์ประกอบสมม�ตรของกระแสด้วยโปรแกรม LabVIEW เมื่อเกิดความผิดพร่องแบบ เฟส-คิน

จากรูปที่ 7 จะเห็นได้ว่าองค์ประกอบสมม�ตรที่ได้จากโปรแกรม LabVIEW นั้นมีค่าเท่ากันองค์ประกอบสมม�ตรที่ได้จากโปรแกรม Matlab จากรูปที่ 3 (x) จึงยืนยันได้ว่าการโปรแกรม LabVIEW นั้นถูกต้อง

ตารางที่ 3 เปรียบเทียบเวลาของทั้ง 2 โปรแกรม

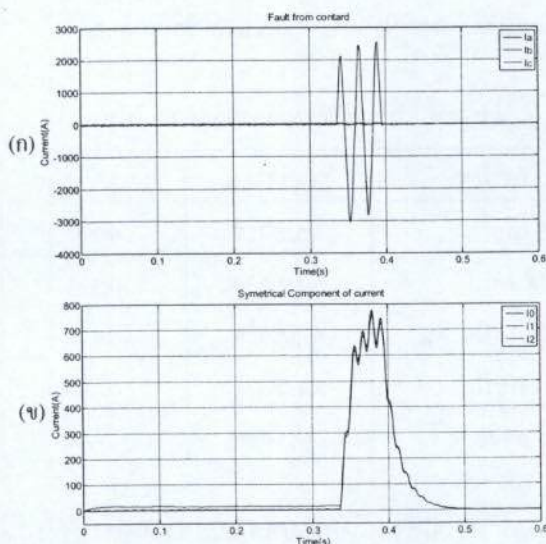
การผิดพร่อง	MATLAB	LABVIEW
3 เฟส	5.517417	0.394
เฟส-คิน	6.180637	0.394
เฟส-เฟส-คิน	6.405969	0.386
เฟส-เฟส	8.148571	0.387
ค่าเฉลี่ย	6.4458978	0.3908

การที่ต้องเก็บข้อมูลของเวลาในการทดสอบอัลกอริทึมนั้นเพื่อการประยุกต์เป็นเครื่องมือแบบเวลาจริง (real time) จะต้องคำนึงถึงเวลาเป็นหลัก อาทิเช่น เครื่องคำนวณหาตำแหน่งผิดพร่อง, รีเลย์กระแสเกินแบบใช่องค์ประกอบสมม�ตรของกระแสสามเฟสเพื่อนำมาตัดสินใจสั่งให้เซอร์กิตเบรกเกอร์ เป็นต้น เครื่องมือเหล่านี้อาศัยความเร็วในการทำงาน ยังใช้ค่าพารามิเตอร์ขององค์ประกอบสมม�ตรในการคำนวณทั้งสิ้น

4.4 การติดตาม/ประมาณค่าองค์ประกอบสมมาตรจากไฟล์ Contard ที่ได้จากการไฟฟ้าส่วนภูมิภาค

ในปัจจุบันเรียกว่าของการไฟฟ้าส่วนภูมิภาคนั้นมีความสามารถมากขึ้นเรื่อยๆ จนในปัจจุบันสามารถพัฒนาจนเก็บข้อมูลเพื่อนำมาวิเคราะห์บนคอมพิวเตอร์ได้ ข้อมูลนี้ชื่อว่าไฟล์ Contard ข้อมูลนี้จะถูกเก็บไว้ที่ตัวบันทึกในดูแล้วคุณรีเลย์ การนำไฟล์ Contard จะต้องนำคอมพิวเตอร์ที่มีโปรแกรมดึงข้อมูลไปทำการดึงข้อมูลออกมานั่นเป็นข้อมูลนั้นนำไปวิเคราะห์ต่อไป

กรณีศึกษาที่จะกล่าวต่อไปนี้ จะใช้ไฟล์ Contard จากรีเลย์ของการไฟฟ้าส่วนภูมิภาคเป็น Input แล้วใช้อัลกอริทึมปรับตัวเองได้เป็นตัวแยกองค์ประกอบสมมาตร กรณีศึกษาที่ 1 : เป็นการนำไฟล์ Contard จากรีเลย์ของการไฟฟ้ามาทำการติดตาม/ประมาณค่าองค์ประกอบสมมาตร



รูปที่ 8 (ก) กระแสเมื่อเกิดการผิดพร่องในระบบ
(ข) องค์ประกอบสมมาตรของสัญญาณกระแส

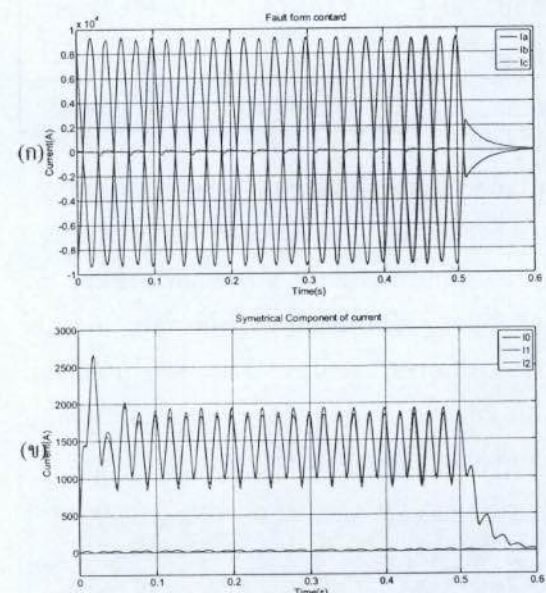
จากรูปที่ 8 (ก) ที่เวลา 0-0.35 วินาที กระแสจะอยู่ในสภาวะปกติ เพราะการเก็บค่าของไฟล์ Contard จะเก็บก่อนเกิดความผิดพร่อง 5 ถูกคลื่น และหลังจากนั้นที่เวลา 0.35-0.4 วินาที ค่าของความผิดพร่องในระบบ จะเห็นได้ว่ากระแสไฟสี B พุ่งสูงขึ้น หลังจากเวลา 0.4 วินาที

กระแสแสก็ลลดลงอย่างมากจนมีค่าเท่ากับศูนย์ เพราะโหลดกำลังปรับตัวเข้าสู่สภาวะปกติอยู่已久เป็นต้องใช้เวลา

จากรูปที่ 8 (ข) จะเห็นได้ว่าในช่วงแรกที่เวลา 0-0.35 วินาที กระแสจะปกติ ลำดับนาวของกระแสจะมีค่า และ ลำดับศูนย์และลำดับลบ จะมีค่าเท่ากับศูนย์ในทางทฤษฎี และหลังจากนั้นในช่วงเวลา 0.35-0.4 วินาที เกิดการผิดพร่องในระบบขึ้น จะเห็นว่า ลำดับนาว, ลำดับลบและลำดับศูนย์ มีค่าเท่ากัน จึงสรุปได้ว่าเป็นไปตามทฤษฎี ความผิดพร่องแบบ เฟส-เด็น และหลังจากเวลา 0.4 วินาที ระบบอยู่ในสภาวะปรับตัว

กรณีศึกษาที่ 1 : เป็นการนำไฟล์ Contard จากรีเลย์ของการไฟฟ้ามาทำการติดตาม/ประมาณค่าองค์ประกอบสมมาตร

รีเลย์ด้วยจะแยกต่างหากที่ผ่านมาพิจารณาจะวัดค่าแก่กระแสและเก็บค่าค่อนเกิดความผิดพร่องแล้วไม่มีการเก็บค่าเริ่มต้น



รูปที่ 9 (ก) กระแสเมื่อเกิดการผิดพร่องในระบบ
(ข) องค์ประกอบสมมาตรของสัญญาณกระแส

จากรูปที่ 9 (ก) ที่เวลา 0-0.5 วินาทีกระแสไฟ C มีค่าปกติ และไฟสี A,B ผุ่งสูงขึ้นเท่ากัน และที่เวลาที่ 0.5 วินาทีจะค่อยปรับตัวลดลง

จากรูปที่ 9 (ก) ที่เวลา 0-0.5 วินาที มีค่า ลำดับสูนย์ มีค่าประมวลสูนย์ ลำดับนูกและลำดับลบมีค่าเท่ากัน จึงสรุปได้เกิดการผิดพร่องแบบ ความผิดพร่องแบบ เฟส-เฟส แต่ รูปไม่รับเรื่องเพราการเก็บค่าของรีเลชีน ละเอียด หลังจากเวลาที่เวลา 0.5 วินาที กระแสจะหายไป

5. สรุป

จากการจำลองติดตาม/ประมวลค่าองค์ประกอบ สมมาตร ทั้ง 5 กรณี จะเห็นได้ว่า การทำงานของอัลกอริทึม ปรับตัวเองได้จะติดตามประมวลค่าองค์ประกอบสมมาตร ในระบบที่เปลี่ยนแปลงได้โดยใช้เวลาเพียง 0.04 วินาที ผู้วิจัยได้ทำการเปรียบเทียบการทำงานเพื่อความถูกต้อง ของอัลกอริทึมปรับตัวเองได้ กับ FFT ผลคือจะได้ค่าที่ ใกล้เคียงกัน แม้จะใช้การคำนวณที่แตกต่างกันมาก อัลกอริทึมปรับตัวเองได้นั้นชั้งเร็วกว่า FFT ถึง 24.2692 เท่าโดยประมาณ และทำการเขียนโปรแกรมเปรียบเทียบ ระหว่างโปรแกรม Matlab และ LabVIEW จะเห็นได้ว่า การทำงานของทั้งสองโปรแกรมจะได้ค่าเท่ากัน แต่ โปรแกรม LabVIEW เร็วกว่าโปรแกรม Matlab ถึง 16.494109 เท่าโดยประมาณ เพราะการทำงานของ โปรแกรม LabVIEW เป็นการคำนวณแบบขนาน ส่วน การคำนวณของโปรแกรม Matlab เป็นการคำนวณค่า ที่ลับบรรทัด สุดท้าย ผู้วิจัยได้ทำการเขียนโปรแกรม เพื่อให้ใช้งานง่ายสำหรับนักคณิตทั่วไปที่ไม่มีความรู้ด้าน การเขียนโปรแกรมสามารถใช้ได้ และกราฟที่สวยงาม และ การเก็บข้อมูลเก็บเป็นไฟล์ .csv เพราะไฟล์นี้สามารถใช้ โปรแกรม Microsoft Excel อ่านได้โดย และขังให้ลดค่า ข้อมูลไปยัง Workspace ของโปรแกรม Matlab ได้โดย ไม่ต้องแปลงค่าก่อน จากความสามารถข้างต้น สามารถใช้โปรแกรมนี้เป็นเครื่องมือเพื่อติดตามค่า องค์ประกอบสมมาตรได้

6. เอกสารอ้างอิง

- [1] Wagner, C.F. and Evans, R.D. 1993. Symmetrical Components. New York :McGraw-Hill
- [2] M. S. Sachdev and M. Nagpal, "A recursive least error squares algorithm for power system relaying and measurement applications," *IEEE Trans. Power Delivery*, vol. 6, pp. 1008–1015, July 1991.
- [3] P. K. Dash, D. P. Swain, A. C. Liew, and S. Rahman, "An adaptive linearcombiner for on-line tracking of power system harmonics," *IEEE Trans. Power Syst.*, vol. 11, pp. 1730–1735, Nov. 1996.
- [4] S. A. Soliman and M. E. El-Hawary, "Application of Kalman filtering for online estimation of symmetrical components for power system protection," *Elect. Power Syst. Res.*, vol. 38, pp. 113–123, 1997.
- [5] A. A. Girgis, W. Chang, and E. B. Makram, "Analysis of high-impedance fault generated signals using a Kalman filtering approach," *IEEE Trans. Power Delivery*, vol. 5, pp. 1714–1724, Oct. 1990.
- [6] K. M. El-Naggar, "A fast method for identification of symmetrical components for power system protection," *Int. J. Elect. Power Energy Syst.*, vol. 23, pp. 813–817, 2001.
- [7] Blackburn, J.L. 1993. Symmetrical Components for Power Systems Engineering. New York : Marcel Dekker Inc.
- [8] B. Widrow and M.A. Lehr, "30 Years of Adaptive Neutral networks: Perception, madaline and back propagation", Proc. IEEE.Vol.78, pp.1415-1442, Sept. 1990.
- [9] E. Elmitwally, S. Abdelkader, and M. El-Kateb, "Neural network controlled three-phase four-wire shunt active power filter," in *Proc. Inst. Elect. Eng., Gen., Transm., Dist.*, vol. 47, Mar. 2000, pp. 87–92.